

## О ПРИЧИНАХ ВЛИЯНИЯ ГАЗА - НОСИТЕЛЯ НА КИНЕТИКУ КОНДЕНСАЦИИ

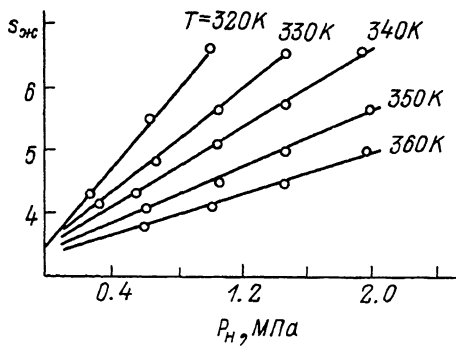
А.Л. И т к и н, Е.Г. Колесниченко

В существующих теориях гомогенного зародышеобразования принято считать, что концентрация неконденсирующегося газа носителя не влияет на скорость процесса нуклеации. Более того, полагается, что чем выше концентрация газа, тем ближе процесс нуклеации к изотермическому случаю, для которого построена теория. Однако в работах [1-3] на основании экспериментальных данных по гомогенной нуклеации  $H_2O$ ,  $D_2O$  и ряда спиртов в смеси с гелием установлено, что критическое пересыщение линейно возрастает с ростом давления гелия  $P_h$  (см. рисунок). При этом с уменьшением температуры наклон изотерм  $S^*(P)$  становится круче. Вместе с тем, для метанола аналогичный эффект не обнаружен.

Другой аспект проблемы заключается в том, что сопоставление экспериментально измеренной и предсказываемой классической теорией частоты зародышеобразования показало, что их расхождение составляет от 8 до 24 порядков. Авторы [1-3] отмечают, что попытка скорректировать теоретические данные успеха не имела.

Указанные обстоятельства делают актуальной задачу планомерного исследования роли различных факторов в кинетике конденсации, не учитываемых в рамках существующих моделей. Одним из факторов является нарушение равновесного распределения кластеров по внутренним степеням свободы вследствие протекания конденсации. Ниже кратко сформулируем основные положения мономолекулярной теории конденсации [4], учитывающей такую неравновесность. В рамках этой теории исследуется влияние параллельно протекающих реакций образования и распада кластеров. Для вывода замкнутой системы уравнений для концентраций кластеров различного размера  $n_j$  из системы уравнений для заселенностей  $x_j$  энергетических состояний  $E_j$  кластеров размера  $j$  используется обобщение изложенного в [5] метода квазистационарного состояния.

Для получения аналитических выражений делаются следующие предположения: учитываются только столкновения кластеров с мономерами; диссоциация осуществляется только на последнем энергетическом уровне кластера; существует такой размер кластера  $r$ , что при  $j < r$  релаксация не успевает восстановить равновесное распределение кластеров (справедлив предел низких давлений), а при  $j > r$  конденсация не возмущает равновесного распределения (справедлив предел высоких давлений). Величина номера  $r$  определяется из условия совпадения скорости диссоциации и релаксации кластера с последнего уровня  $X_j = E_{j,j-1}^{MM}/R_j^{MM-1} n_j \approx 1$ .



Изотермы зависимости критического пересыщения  $S_{\text{жс}}$  от общего давления в камере  $P_H$ .

Развитые в [4] методы дают возможность найти аналитические решения  $n_j = n_j(t)$ . Это позволяет качественно процесс конденсации в различных устройствах описать следующим образом. Введем критический размер  $j_* = (\delta(j) / \ln s)^{1/3}$ , где  $s$  — пересыщение,  $\delta(j) = (4\pi\sigma(j, T) / kT)(3\mu/4\pi\rho_l N_A)^{2/3}$ ,  $\sigma$  — поверхностное натяжение,  $\mu$  — молекулярный вес,  $\rho_l$  — плотность жидкости,  $N_A$  — число Авогадро,  $T$  — температура,  $k$  — постоянная Больцмана. Из решения следует, что в сечении, где  $s = 1$ ,  $j_* = \infty$ , конденсация протекает медленно и практически не влияет на параметры потока. При адиабатическом уменьшении давления и температуры  $s$  растет, так что  $j_*$  уменьшается, а  $r$  возрастает, поскольку все более крупные кластеры оказываются в пределе низких давлений. В сечении, где  $r = j_*$ , происходит резкий скачок скорости конденсации. Распределение концентраций кластеров обнаруживает при этом характерный максимум в области размера  $r$  и качественно согласуется с экспериментально наблюдаемой картиной [6].

Опишем, как в рамках данной теории можно объяснить экспериментальные данные [1–3]. Поскольку неконденсирующийся газ участвует в процессах  $VT$  и  $RT$  релаксации кластеров, то роль параметра  $X_j$  в этом случае будет играть параметр  $\bar{X}_j = E_{j,j-1}^{MM}/(R_j n_j^{MM-1} + R_{jH} n_H^{MM-1})$ , где  $n_H = P_H/kT$ . Ясно, что с ростом  $P_H$  номер  $r$ , определяемый условием  $\bar{X}_j = 1$ , уменьшается. Поскольку по определению  $\ln s = \delta j_*^{-1/3}$ , а в точке развитой конденсации (точке Вильсона)  $j_* = r$ , то критическое пересыщение в этой точке  $s_* = \exp(\delta/r^{1/3})$ . Тогда  $ds_*/dP_H = (ds_*/dr)(dr/dP_H) = (\delta\lambda/3r^{4/3}) \exp(\delta/r^{1/3})$ , где  $\lambda = -dr/dP_H > 0$ . Таким образом, с ростом  $P_H$   $s_*$  возрастает, что качественно согласуется с экспериментальными результатами [2].

Определяющим процессом скорости релаксации полной внутренней энергии кластера является  $RT$  обмен. Согласно имеющимся оценкам [7], его скорость слабо (приблизительно как  $T^{1/2}$ ) падает с ростом  $T$ . Поскольку  $E_{j,j-1}^{\text{MM}}$  не зависит от  $T$ , с уменьшением  $T$  значение  $r$  будет падать, а  $\lambda/r^{4/3}$  — расти. Величина  $\beta$  слабо зависит от  $j$  при не слишком малых  $j$ , а зависимость от  $T$  обычно хорошо аппроксимируется линейной функцией  $\beta = \beta_0(1 - T/T_c)$ . Поэтому с уменьшением  $T$   $\beta$  возрастает, вследствие чего возрастает и величина  $\partial s_* / \partial P_H$ , т.е. наклон изотерм  $s_*(P)$  становится круче. Следовательно, и этот ранее экспериментально обнаруженный в [1-3] эффект находит свое объяснение в рамках мономолекулярной теории конденсации.

Проанализируем экспериментальные данные [3] для гомологического ряда спиртов. Исходя из современных представлений о скоростях процессов  $RT$  релаксации и диссоциации кластеров, нет оснований ожидать сильного различия их скоростей для метанола,  $n$ -пропанола и  $n$ -пентанола, поэтому примем, что величина  $r$  близка для указанных веществ. То же можно сказать и о плотности жидкой фазы  $\rho_l$  [3]. Однако величины  $\beta$  и  $\mu$  меняются достаточно заметно. Так,  $\mu_M = 32$  г/моль,  $\mu_P = 88$  г/моль, а при  $T=373$  К (условия эксперимента)  $\beta_M = 14.5$  дин/см,  $\beta_P = 18.7$  дин/см, что дает  $\beta_M = 0.65$  и  $\beta_P = 1.8$ . Из результатов [1-3] следует, что  $s_*$  линейно возрастает с ростом  $P$ , т.е.  $s_* = \alpha(T)P + \beta(T)$ . Отсюда  $(\partial s_* / \partial P_H)_P / (\partial s_* / \partial P_H)_M = (\beta s_*)_P / (\beta s_*)_M = \alpha_P / \alpha_M$  (индексы „ $P$ “ и „ $M$ “ относятся к  $n$ -пентанолу и метанолу). Представляя сюда приведенные выше значения  $\beta$  и  $s_*$  из [3], находим, что  $\alpha_P / \alpha_M \approx 8$ , т.е. для одинаковых  $P$  и  $T$  значениям  $\alpha_P \approx 1$  [3] соответствуют  $\alpha_M \approx 1/8$ . Ясно, что при таких малых  $\alpha_M$ , анализируя зависимость  $s_*(P_H)$  в узком интервале температур и давлений, трудно обнаружить эффект влияния неконденсирующегося газа на кинетику конденсации. По-видимому, это и имеет место в [3], где  $P$  и  $T$  менялись в пределах  $0.4 \leq P_H \leq 2$  МПА,  $290 \leq T \leq 370$  К. С увеличением порядкового номера в гомологическом ряду в силу возрастания параметра  $\beta$  величина  $\partial s_* / \partial P_H$  растет, и для  $n$ -пентанола эффект становится заметным даже при небольших изменениях  $P_H$ .

Отметим, что с ростом  $P_H$  величина  $r$  уменьшается до тех пор, пока все кластеры не станут соответствовать пределу высоких давлений ( $r < 2$ ). Начиная с этого момента следует ожидать, что дальнейшее увеличение  $P_H$  не приведет к росту  $s_*$ . Этот эффект допускает экспериментальную проверку, но косвенным его подтверждением являются аномально высокие переохлаждения паров воды, наблюдавшиеся при высоких давлениях [4].

Качественное согласие теории и эксперимента позволяет использовать опытные данные для определения явного вида зависимости от  $P$  номера  $r$ , который входит в теорию как параметр. Так из результатов [1-3] следует, что  $s_* = \exp(b/r^{1/3}) = \alpha(T)P + \beta(T)$ , поэтому  $r = b^3(T) \ln^{-3}[\alpha(T)P + \beta(T)]$ . Зависимости  $\alpha(T)$  и  $\beta(T)$  можно в принципе получить из обработки экспериментальных

кривых  $s_*$  (Р), однако сделать заключение об их универсальности для различных веществ пока не представляется возможным.

### Список литературы

- [1] Чуканов В.Н., Кулегин А.П. // ТВТ. 1987. Т. 25. № 1. С. 70-77.
- [2] Коробицын Б.А., Чуканов В.Н. // Труды 1Х Всес. конф. по динамике разр. газов. Свердловск, 1988. Т. 2. С. 111-117.
- [3] Коробицын Б.А., Чуканов В.Н. Там же. С. 118-123.
- [4] Иткин А.Л., Колесниченко Е.Г. // ДАН СССР. 1989. Т. 309. № 5. С. 1069-1072.
- [5] Колесниченко Е.Г. // ТВТ. 1973. Т. 11. № 1. С. 46-50.
- [6] Yamada I., Usui H., Takagi T. // Z. Phys. D - Atoms, Molecules and Clusters, 1986, N 3. P. 137-142.
- [7] Гордиев Б.Ф., Осипов А.И., Шелепин Л.А. Кинетические процессы в газах и молекулярные лазеры. М.: Наука. 1980. 512 с.

Московский авиационный  
институт им. С. Орджоникидзе

Поступило в Редакцию  
7 декабря 1988 г.

Письма в ЖТФ, том 15, вып. 7  
11

12 апреля 1989 г.

### ВЛИЯНИЕ АДСОРБЦИИ КРЕМНИЯ НА ПОВЕРХНОСТИ (1010) РЕНИЯ НА ВЫДЕЛЕНИЕ УГЛЕРОДА, РАСТВОРЕННОГО В ЕГО ОБЪЕМЕ

Н.Р. Галль, Е.В. Рутьков,  
А. Я. Тонтегоде

Процесс выделения на поверхности металла растворенных в его объеме примесных атомов включает как объемную диффузию, так и стадию перехода из объема на поверхность. По-видимому, изменения состояния поверхности, скажем, адсорбцией чужеродных частиц, можно попытаться как подавить выделение, так и его ускорить. В [1] указывается на сильное замедление зернограничной сегрегации фосфора в железе в присутствии углерода и сурьмы в присутствии серы. Мы изучили влияние адсорбции кремния на поверхности грани (1010) *Re* на выделение растворенного в объеме рения углерода.